

# **Baryon-Baryon Potentials with QCD-based Cores**

QCDから導かれた短距離コアをもつバリオン間ポテンシャル模型

新村昌治(岐阜大工)

## バリオン間(BB)相互作用の研究

ハイパー核、ストレンジ核物理学の進歩によって進展

ハイパー核、ダブルハイパー核の豊富な知識

YN,YY相互作用についての知識

J-PARC

理論的研究

OBEFなどの中間子交換モデル

中、長距離パート

クオークモデル+中間子交換モデル

短、中、長距離パート

カイラル摂動論によるモデル

QCDによる理論計算

短距離パート

短距離パート(第3領域)の性質がQCDにもとづく理論計算で解明されつつある

\* 従来の中間子交換モデルでは、短距離パートを現象論的に導入してきた。

\* クオークモデルによる計算

整合性はどうなっているか？

QCDによる短距離相互作用と中間子交換モデルは両立可能か？

もし可能であれば、どういう性質をあたえるか？(とくにYN、YY相互作用について)

# ハドロン交換機構によるハドロン間ポテンシャル

共通の土台: Hadron Exchange Mechanism with  
SU(3)symmetric Coupling Constants

		NN	YN,YY	$\pi N,KN$	$K^{\text{bar}}N$	$\pi\pi,\pi K,N^{\text{bar}}N$
Julich	OHEP, Form Factor, No Phenomenological Core	○	○	○	△	△
Nijmegen	OHEP, TMEP, Pomeron(Quark-Gluon Effects) Form factor	○	○	○		
fgA,fgB (2000)	OBEP with short-range cutoff Phenomenological Core	○	○			
GSOBEP (2005)	OHEP+Source Function No Phenomenological Core	○	○	○	△	

(2010)

fgA,fgB(PTP Vol.104, 995,2000):

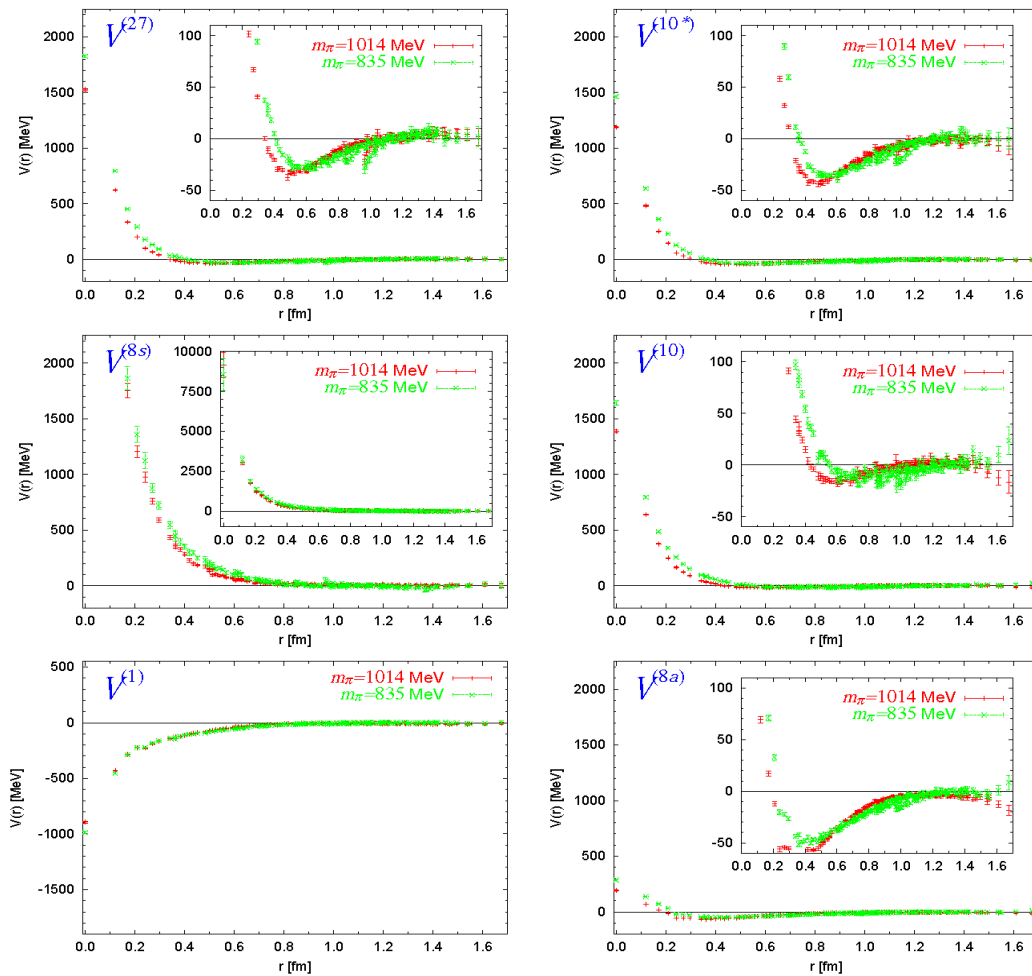
Scalar meson masses are different between the models  
 SRC + OBEP with cutoff(at r=0.4fm)

$$V = V_{\text{core}}(r) + [1-\exp(-(r/r_c)^2)]^4 V_{\text{OBEP}} \quad r_c=0.4\text{fm}$$

$$V_{\text{core}}(r) = V_c \exp(-(r/r_g)^2) \quad r_g=0.5(0.49147) \text{ fm for fgA(fgB)}$$

List of the values of  $V_c$

<b>fgA</b>	{27}	{10*}	{10}	{8a}	{8s}	{1}
Even	2768	2277	40	1162	3579	173
Odd	28	178	267	2219	1072	-
<b>fgB</b>	{27}	{10*}	{10}	{8a}	{8s}	{1}
Even	2822	2473	75	41	256	230
Odd	5	3112	96	3962	3603	-



T. Inoue et al.  
(HAL QCD collaboration)  
arXiv:1007.3559[hep-lat]

Flavor SU(3) Limit  
Even(1S0,3S1) states

pion mass = 1014 MeV red  
pion mass = 835 MeV green

Relative Strengths:

	{27}	{10*}	{10}	{8a}	{8s}	{1}
LQCD	1	0.8	1.1	0.2	4.1	-0.6
fgA	1	0.8	0.01	0.4	1.3	0.06
fgB	1	0.9	0.03	0.08	0.09	0.01
	---NN---			-----YN-----		--YY--

**NNはたいへんよい一致！**  
**定性的にはfgAが相性がよい**

Fig. 2. The six independent BB potentials for S-wave in the flavor SU(3) limit, extracted from the lattice QCD simulation at  $m_\pi = 1014$  MeV (red bars) and  $m_\pi = 835$  MeV (green crosses).

# fgAの「改良版」

## Relative Strengths of Short Range Cores:

	{27}	{10*}	{10}	{8a}	{8s}	{1}	
LQCD	1	0.8	1.1	0.2	4.1	-0.6	
fgA	1	0.8	0.01	0.4	1.3	0.06	
fgA'	1	0.8	1.1	0.2	3.0	-0.6	Only c.c. are optimized
fgA''	1	0.8	1.1	0.2	3.0	-0.6	Fully optimized
	-----NN-----		-----YN-----		-----YY-----		

## Coupling Constants:

	g(1)	g(8)	$\alpha$	$\theta$
scalar mesons	5.37138	0.76202	3.21258	-5.61
ps-mesons	0.14853	0.26600	0.49061	-23.92
vector mesons ge	3.44302	0.68648	1.00000	36.44
gm	4.72583	6.12176	0.43590	36.44

Blue numbers are fixed

Optimized parameters

11=10+1(Vc({27})) in fgA'

16=10+1(Vc({27}))+5(Vc(Odd)) in fgA''

**{10},{8s}{1}に大きな変化:**

NN : 影響なし

$\Delta N$  : 影響小さい  
 1S0:{8s}のみで統計的重みは小さい(10%)

**$\Sigma N$  : 影響大きい**  
 $I=3/2$  3S1 {10} 100%  
 $I=1/2$  1S0{8s} 90%

**$\Delta\Delta$ 、 $\Xi N$  : 影響大きい**  
 $I=0$  1S0 {1}{8s}:  
 $I=1$  1S0{8s}:  
 $I=1$  3S1{10}:

現象論的な知識＝拘束条件の量と質に符合！！

### Coupling Constants:

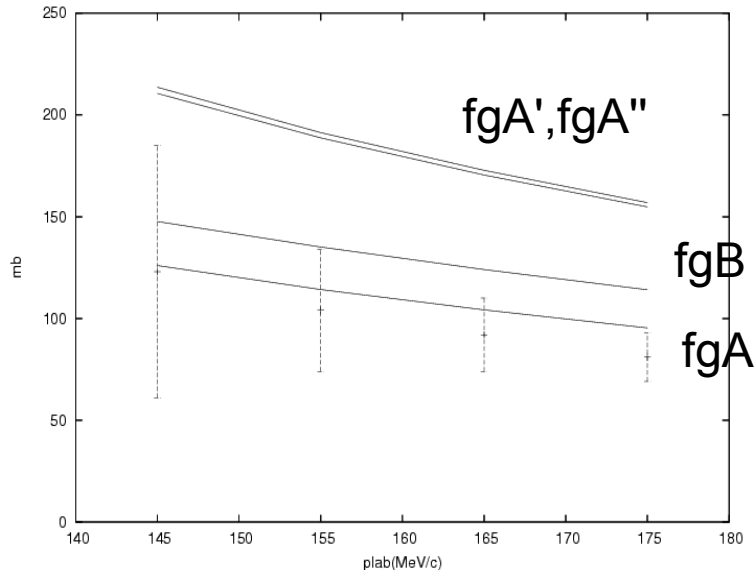
fgA	g(1)	g(8)	$\alpha$	$\theta$
scalar mesons	5.37138	0.76202	3.21258	-5.61
ps-mesons	0.14853	0.26600	0.49061	-23.92
vector mesons ge	3.44302	0.68648	1.00000	36.44
gm	4.72583	6.12176	0.43590	36.44

Blue numbers are fixed

fgA'	g(1)	g(8)	$\alpha$	$\theta$
scalar mesons	5.41223	1.14430	2.12067	-6.39
ps-mesons	0.13503	0.26600	0.49061	-23.92
vector mesons ge	3.40179	0.68655	1.00000	36.44
gm	5.45281	6.02445	0.35211	36.44

fgA''	g(1)	g(8)	$\alpha$	$\theta$
scalar mesons	5.35849	1.12632	2.08724	-4.93
ps-mesons	0.13990	0.26600	0.49061	-23.92
vector mesons ge	3.49537	0.70097	1.00000	36.44
gm	5.41256	6.17634	0.34902	36.44



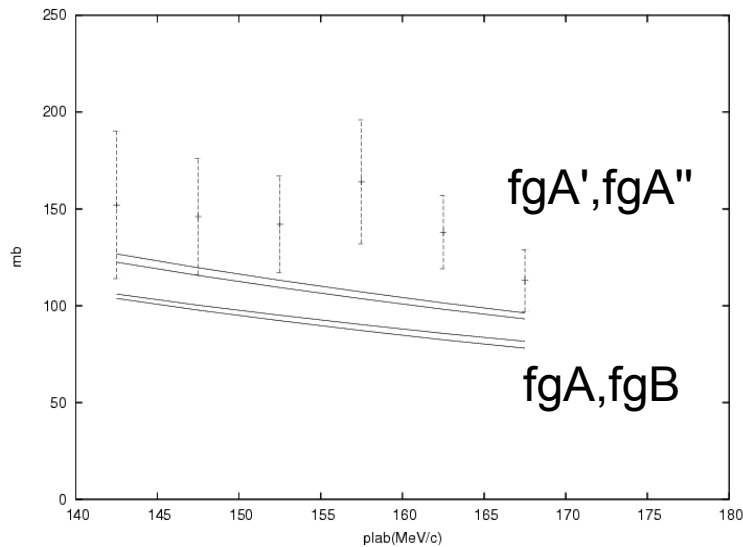


$\Sigma^+p$ - $\Sigma^+p$  Elastic Cross sections

fgA,fgB : good

fgA', fgA'' : overestimation

3S1 {10} 100% 0.01 → 1.1

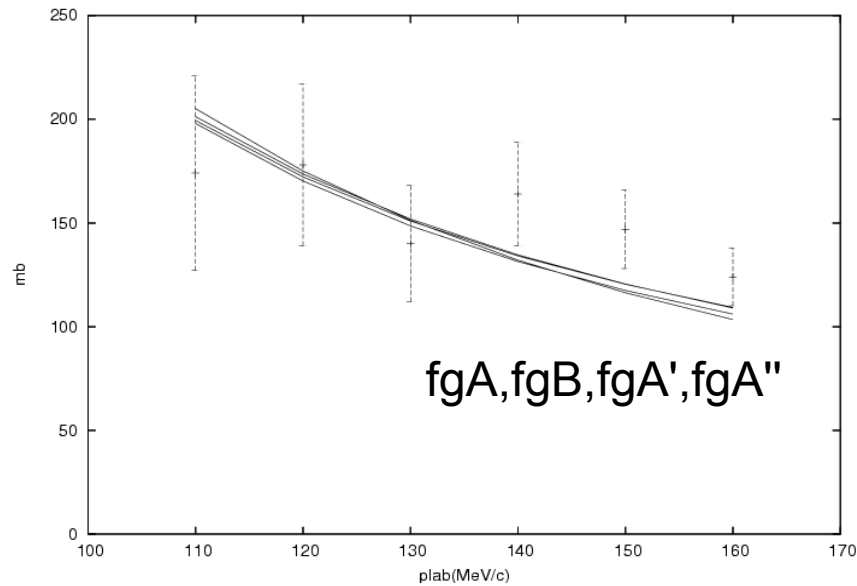


$\Sigma^-p$ - $\Sigma^-p$  Elastic Cross sections

fgA,fgB : underestimation

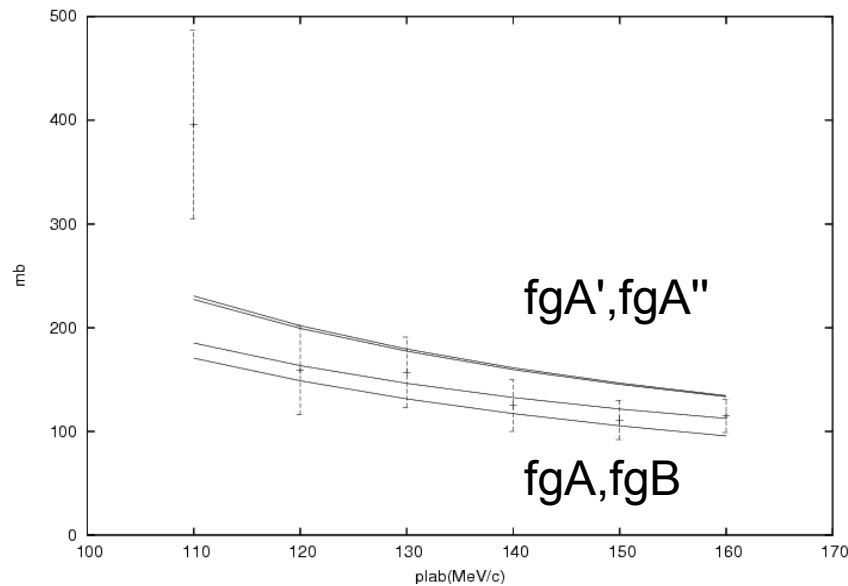
fgA',fgA'' : improved

1S0 {8s} 60% 1.3 → 3.0



## $\Sigma$ -p- $\Lambda$ n Reaction Cross sections

fgA, fgB, fgA', fgA" : good



## $\Sigma$ -p- $\Sigma^0$ n Reaction Cross sections

fgA', fgA" : overestimation ?

fgA, fgB : good ?

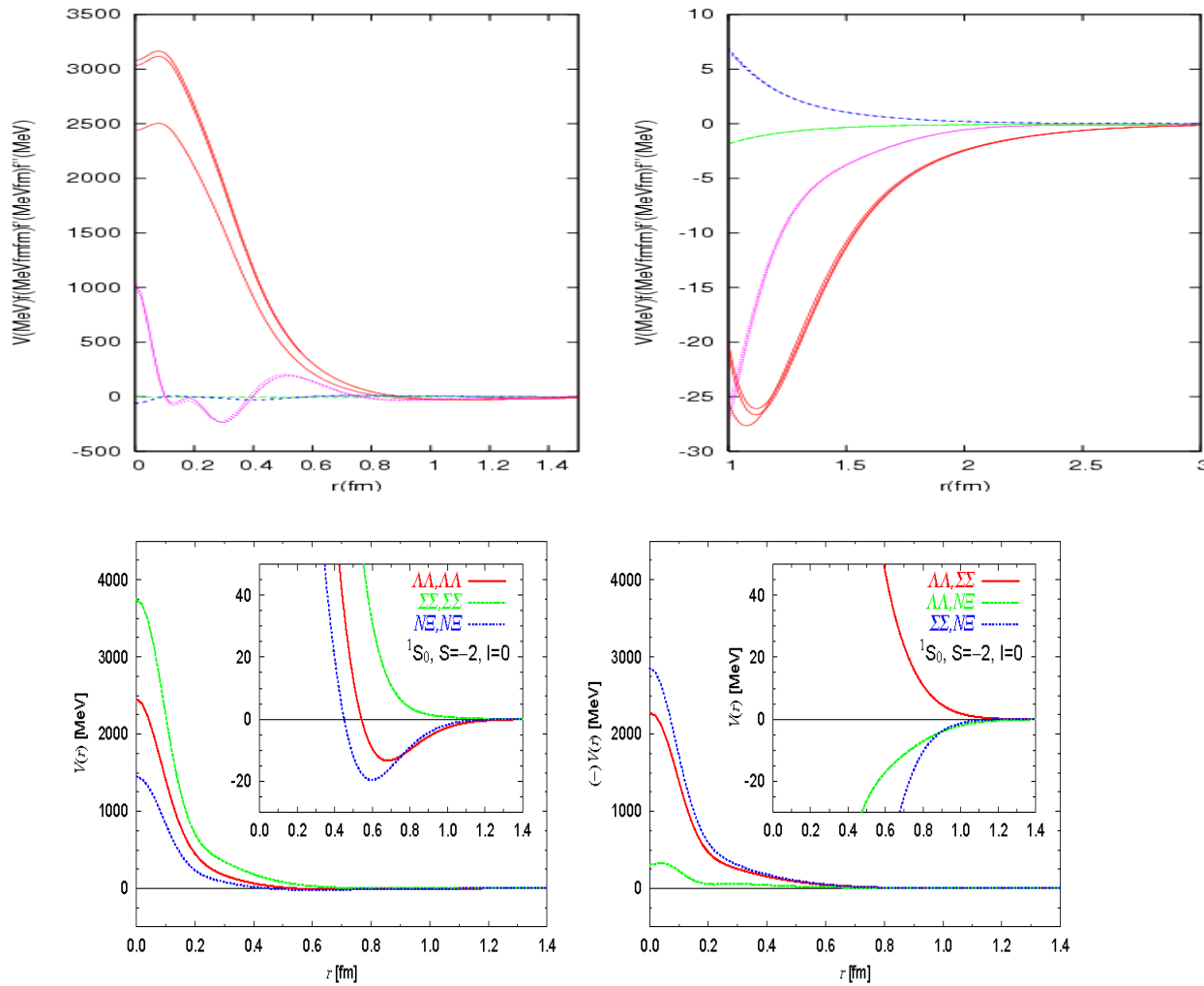
$\Sigma^-p$  Inelastic Capture Ratio:

$$r = \sigma(\Sigma^-p \rightarrow \Sigma^0 n) / [\sigma(\Sigma^-p \rightarrow \Sigma^0 n) + \sigma(\Sigma^-p \rightarrow \Lambda n)]$$

$$r_{av} = (1/4)r(\text{singlet}) + (3/4)r(\text{triplet})$$

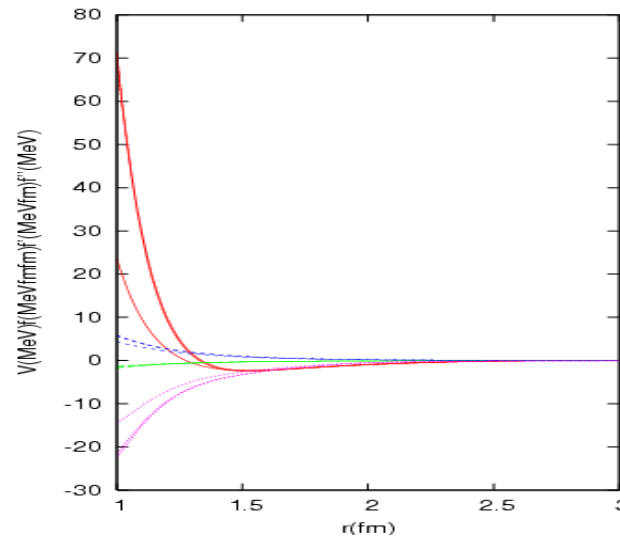
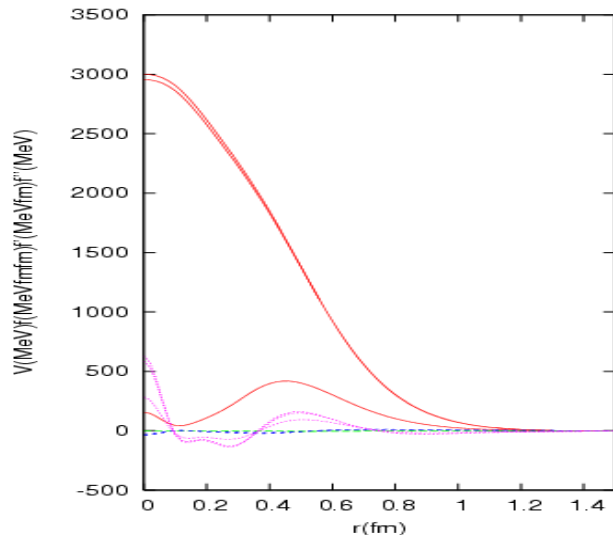
	$r_{av}$	
Exp	0.33±0.05	
	0.474±0.016	
	0.465±0.011	
Calc		
fgA	0.467	
fgA'	0.516	fgA' and fgA'' cannot reproduce experimental data !
fgA''	0.511	

$\Lambda\Lambda-\Lambda\Lambda(1S_0)$   
 weak attraction

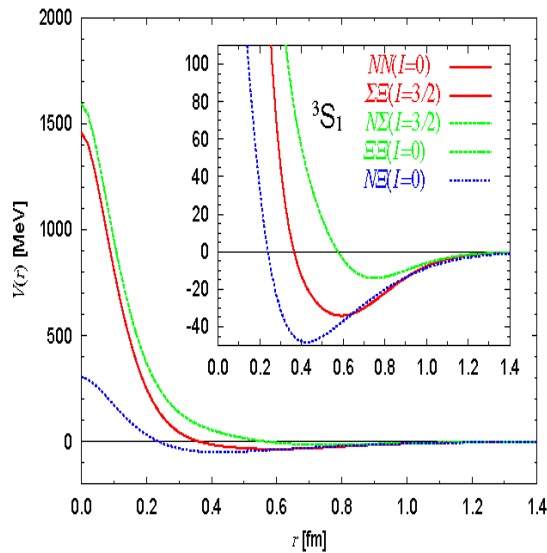


HAL-QCD calc.  
 by T. Inoue et al.  
 weak attraction

Fig. 3. BB potentials in baryon basis for  $S=-2, I=0, ^1S_0$  sector. Three diagonal(off-diagonal) potentials are shown in left(right) panel. Phase of off-diagonal ones in the right panel are arranged in zoom-out plot. Their true signs are shown in the insertion.

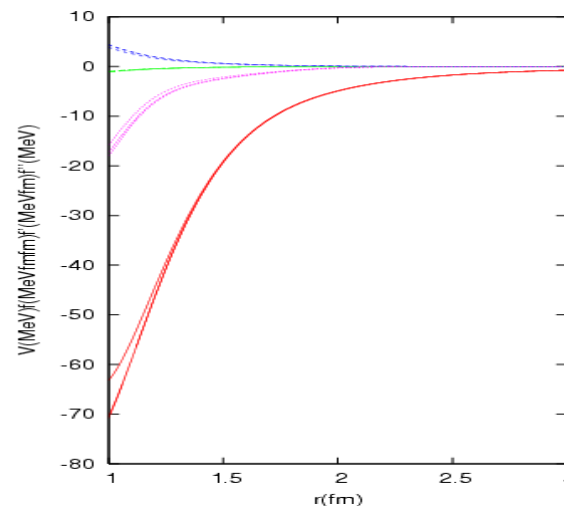
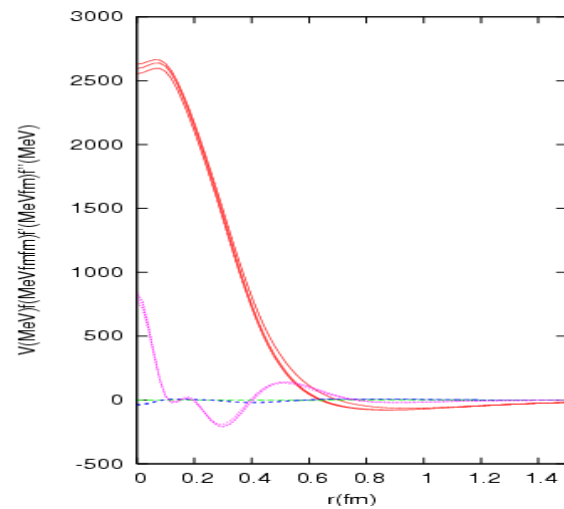


$\Sigma^+p(3S_1)$   
Strong repulsion

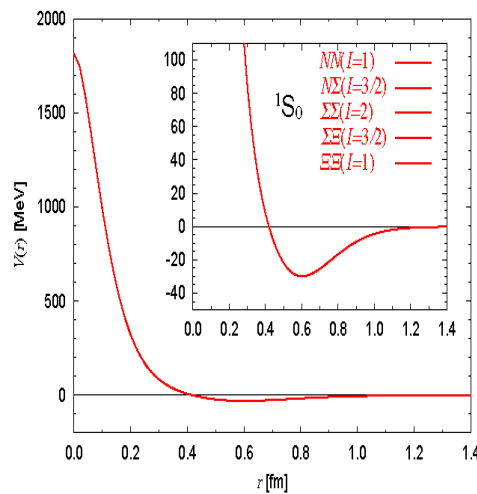


HAL-QCD calc.  
by T, Inoue et al.

weak attraction

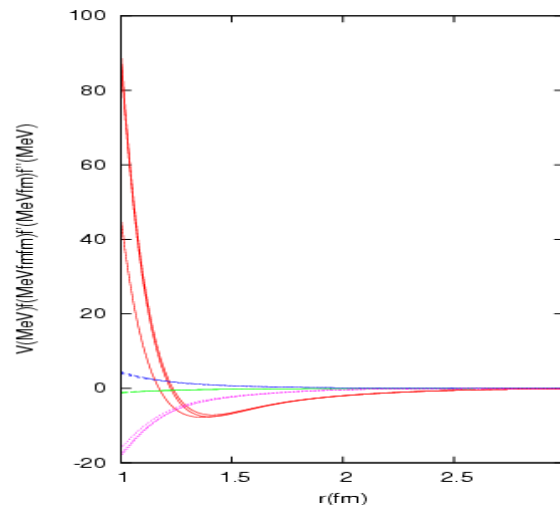
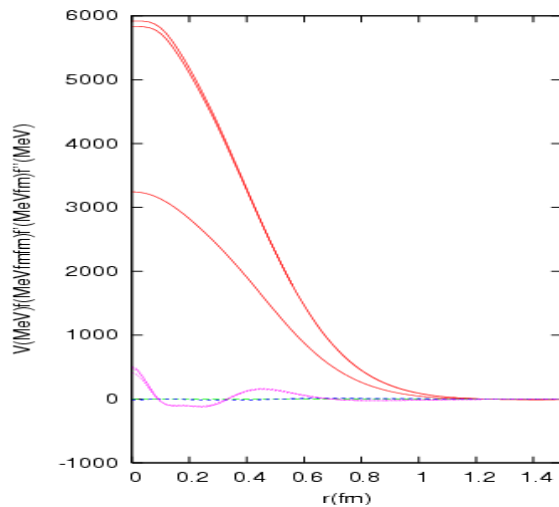


$\Sigma^+p(1S_0)$   
attraction



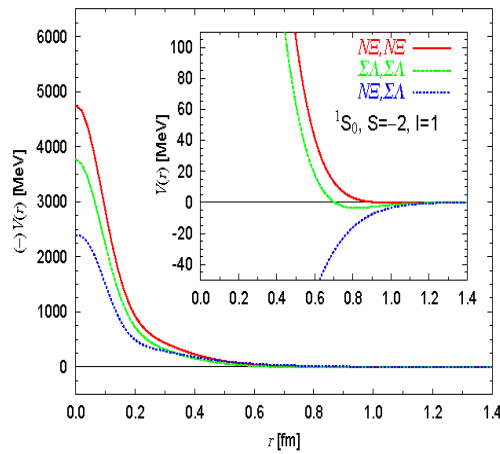
HAL-QCD calc.  
by T, Inoue et al.

attraction



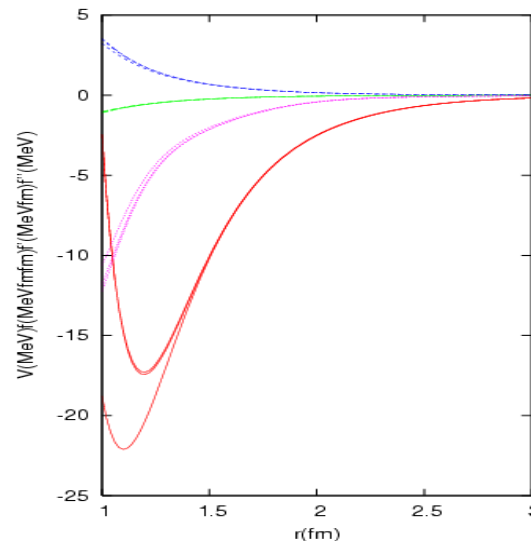
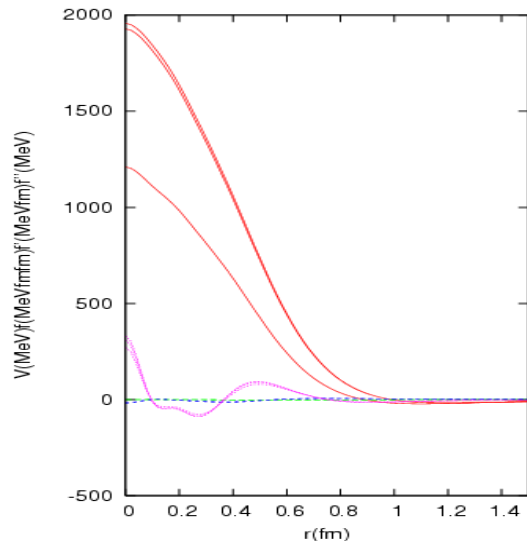
$\bar{E}-n(1S0)$

strong repulsion

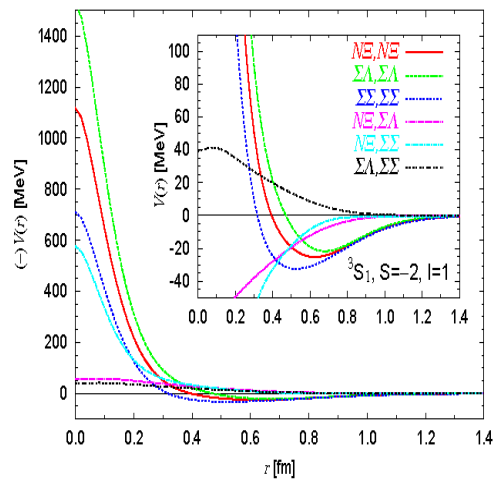


HAL-QCD calc.  
by T. Inoue et al.

strong repulsion



$\Xi$ -n( $3S_1$ )  
weak attraction



HAL-QCD calc.  
by T, Inoue et al.

weak attraction



## まとめ

- OBEP with cutoff + 現象論的短距離力という枠組みは、実験データが整備される条件の下で、QCDと整合性をもつように思える。

NN data →  $V_c(\{27\}) : V_c(\{10^*\}) = 1 : 0.8$

YN, YY data →  $V_c(\{10\}), V_c(\{8a\}), V_c(\{8s\}), V_c(\{1\})$  ???

QCD  $\{27\}:\{10^*\}:\{10\}:\{8a\}:\{8s\}:\{1\}=1 : 0.8 : 1.1 : 0.2 : 4.0 : -0.6$

- QCDの短距離コア + OBEPというモデルは構築可能であると思われる  
YN, YY相互作用の予言を行うことも可能

- Hadron間相互作用への拡張

NN, YN, YY,  $\pi N$ , KN,  $K^{\text{bar}}N$ ,  $\pi\pi$ ,  $N^{\text{bar}}N$ ,  $\pi K$